

# Взаимосвязь локальной электронной и локальной кристаллической структур промежуточновалентного $\text{Sm}_{1-x}\text{Y}_x\text{S}$

А. П. Менушенков<sup>1)</sup>, Р. В. Черников, В. В. Сидоров, К. В. Клементьев\*, П. А. Алексеев<sup>+</sup>, А. В. Рыбина<sup>+</sup>

Московский инженерно-физический институт (государственный университет), 115409 Москва, Россия

\* HASYLAB, DESY, D-22607 Hamburg, Germany

<sup>+</sup> Российский научный центр “Курчатовский институт”, 123182 Москва, Россия

Поступила в редакцию 6 июня 2006 г.

В промежуточновалентном соединении  $\text{Sm}_{1-x}\text{Y}_x\text{S}$  ( $x = 0.17, 0.25, 0.33, 0.45$ ) в широком температурном интервале 20–300 К методами рентгеновской спектроскопии поглощения изучено валентное состояние самария и особенности локального окружения ионов самария и иттрия. Определены температурные зависимости длин связей Sm-S, Sm-Sm(Y), Y-S, Y-Sm(Y) и их факторов Дебая-Валлера. Установлена прямая корреляция изменения валентности самария с изменениями параметров его локального окружения в зависимости от концентрации иттрия и температуры. Определены основные характеристики промежуточновалентного состояния самария: энергетическая ширина  $4f$ -уровня и его положение относительно уровня Ферми.

PACS: 61.10.Ht, 71.28.+d

Сульфид самария  $\text{SmS}$  принадлежит к классу соединений с однородной промежуточной валентностью (ПВ), которая наблюдается в металлической фазе под давлением  $\gtrsim 0.6$  ГПа выше точки фазового перехода диэлектрик–металл вследствие частичной делокализации  $4f^6$ -электрона [1]. При переходе кристаллическая решетка, сохраняя симметрию  $\text{NaCl}$ , значительно уменьшается в объеме. ПВ состояния можно достичь также, замещая часть ионов самария ионами меньшего радиуса других редкоземельных элементов или переходных металлов ( $\text{Y}^{3+}, \text{Yb}^{3+}, \text{Gd}^{3+}$  и др.). Считается, что возникающее в данном случае химическое сжатие служит эквивалентом внешнего давления. Однако попытки инициировать фазовый переход диэлектрик–металл с помощью химического сжатия при внедрении двухвалентных ионов, например  $\text{Ca}^{2+}$ , не увенчались успехом, хотя данные рентгеновской спектроскопии поглощения свидетельствуют о появлении ПВ состояния [2]. Это указывает на то, что допирование и вызванное им химическое сжатие неизбежно ведут к изменению электронной и кристаллической структур на локальном уровне, изменения тем самым свойства ПВ состояния и макроскопические свойства соединения.

Возросший в последнее время интерес к соединениям на основе сульфида самария в значительной степени связан с рядом наблюдавших в них аномалий, таких, как отрицательный коэффициент тепло-

вого расширения в металлической фазе  $\text{SmS}$  [3] и необычные магнитные свойства диэлектрической фазы  $\text{Sm}_{1-x}\text{Y}_x\text{S}$  [4]. Так, обнаруженные недавно колективные магнитные возбуждения в спектрах неупругого рассеяния нейтронов в  $\text{Sm}_{0.83}\text{Y}_{0.17}\text{S}$  [4] не нашли интерпретации в рамках классической модели промежуточной валентности и были объяснены на основе существования локально-связанного состояния по аналогии с моделью ПВ, развитой для  $\text{SmB}_6$  [5]. В то же время в теоретической работе [6] указанные особенности интерпретируются как результат нарушения локальной симметрии решетки при внедрении примеси  $\text{Y}^{3+}$ , более того, авторами ставится под сомнение наличие промежуточновалентного состояния в  $\text{Sm}_{1-x}\text{Y}_x\text{S}$ .

Таким образом, для прояснения природы ПВ состояния, установления роли допирования и объяснения макроскопических свойств  $\text{Sm}_{1-x}\text{Y}_x\text{S}$  на передний план выдвигается исследование локальных особенностей его электронной и кристаллической структур. Для достижения указанных целей в настоящей статье мы использовали комбинацию методов рентгеновской спектроскопии поглощения XANES и EXAFS, позволяющих одновременно исследовать валентное состояние и параметры локального окружения интересующих ионов.

Образцы с содержанием иттрия  $x = 0.17$  и  $0.33$  были изготовлены в ФТИ им. А.Ф. Иоффе (С.-Петербург, Россия), с  $x = 0.25, 0.45$  – в Университете Токио (Сендай, Япония).

<sup>1)</sup> e-mail: menuhen@htsc.mephi.ru

Измерения рентгеновских спектров поглощения  $\text{Sm}_{1-x}\text{Y}_x\text{S}$  ( $x = 0.17, 0.25, 0.33, 0.45$ ) проводились в интервале температур 20–300 К выше  $L_{\text{III}} - \text{Sm}$  и  $K - \text{Y}$  краев поглощения на линиях  $E4$  и  $A1$  синхротронного центра HASYLAB (DESY, Германия). Использование двухкристального  $\text{Si}(111)$  ( $E4$ ) и двойного моноблочного  $\text{Si}(111)$  ( $A1$ ) монохроматоров обеспечивало энергетическое разрешение  $\sim 1.2$  эВ и  $\sim 2.5$  эВ при энергии рентгеновского излучения в области  $L_{\text{III}} - \text{Sm}$  (6716 эВ) и  $K - \text{Y}$  (17038 эВ) краев поглощения, соответственно. Для низкотемпературных измерений применялся гелиевый прокачной криостат, обеспечивающий стабильность температуры 0.1 К при  $T \leq 100$  К и 0.5 К при  $100 < T \leq 300$  К. В связи с существованием достаточно заметного температурного гистерезиса валентности самария в  $\text{Sm}_{1-x}\text{Y}_x\text{S}$  спектры снимались в одинаковых условиях при последовательном повышении температуры после охлаждения образцов до 20 К. Обработка спектров проводилась в программной среде VIPER [7].

Рентгеновские спектры поглощения в области протяженной тонкой структуры (EXAFS) обрабатывались в соответствии со стандартной формулой:

$$\chi(k) = \pm S_0^2 \sum_n \frac{1}{kR_n^2} N_n |f_n(\pi, k)| \times \times \sin[2kR_n + 2\delta_1(k) + \phi_n(\pi, k)] e^{-2\sigma_n^2 k^2}, \quad (1)$$

где  $\chi(k)$  – EXAFS-функция,  $N_n$  – координационное число,  $R_n$  – средний радиус  $n$ -й координационной сферы,  $\sigma_n^2$  – среднеквадратичное отклонение межатомного расстояния от его среднего значения, называемое фактором Дебая-Валлера. Масштабный множитель  $S_0^2$  учитывает влияние многоэлектронных эффектов. Знаки  $\pm$  относятся к обработке  $L_{\text{III}} - \text{Sm}$  и  $K - \text{Y}$  краев поглощения, соответственно. Амплитуды  $f_n(\pi, k)$  и фазы обратного рассеяния  $2\delta_1(k) + \phi_n(\pi, k)$  рассчитывались с использованием программы FEFF-8.20 [8]. В результате моделирования EXAFS-спектров получены значения координационных чисел, радиусов и факторов Дебая-Валлера ближайших координационных сфер  $\text{Sm-S}$ ,  $\text{Sm-Sm}$ ,  $\text{Sm-Y}$ ,  $\text{Y-S}$ ,  $\text{Y-Sm}$ .

Анализ тонкой структуры спектра вблизи  $L_{\text{III}}$  края поглощения самария (XANES) использовался для определения валентности самария.

На рис.1 представлены XANES-спектры  $\text{Sm}_{1-x}\text{Y}_x\text{S}$ , снятые вблизи  $L_{\text{III}}$  края поглощения самария при  $T = 20$  К. Для всех исследованных составов наблюдается расщепление края поглощения на два максимума, сдвинутых относительно друг друга на  $\sim 7$  эВ, что свидетельствует о ПВ состоянии самария, а соотношение амплитуд максимумов

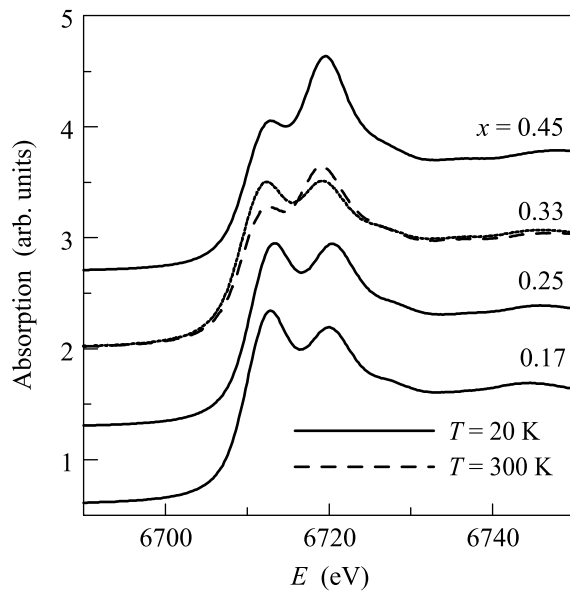


Рис.1. Рентгеновские спектры поглощения  $\text{Sm}_{1-x}\text{Y}_x\text{S}$  вблизи  $L_{\text{III}} - \text{Sm}$  края поглощения при  $T = 20$  К. Пунктиром показан спектр поглощения состава  $x = 0.33$  при  $T = 300$  К

позволяет определить среднее значение его валентности [9]. Считается, что нецелочисленное значение валентности самария связано с частичной делокализацией  $f$ -электрона, когда положение  $4f$ -уровня  $E_0$  совпадает с энергией Ферми  $E_F$  [10]. В таком случае волновая функция  $f$ -электрона должна описываться линейной комбинацией волновых функций  $4f^65d^0$  и  $4f^55d^1$  состояний:  $\Psi = \alpha\psi(4f^65d^0) + (1-\alpha)\psi(4f^55d^1)$ , где коэффициент  $0 \leq \alpha \leq 1$  характеризует степень локализации  $4f$ -электрона. Количественная оценка валентности самария проводилась при помощи моделирования формы спектра суммой вкладов от краев  $\text{Sm}^{2+}$  и  $\text{Sm}^{3+}$  в соответствии с формулой [11]

$$I(E) = \sum_{k=1,2} \frac{p(k)\Gamma^2}{\Gamma^2 + (E - E_k)^2} + \sum_{c=1,2} \frac{p(c)}{p(1) + p(2)} \left( \frac{1}{2} + \frac{1}{\pi} \arctan \frac{[E - (E_c + \delta)]}{0.5\Gamma} \right), \quad (2)$$

где  $\Gamma$  – полуширина лоренциана, моделирующего переход фотоэлектрона с уровня  $2p$  на свободный уровень  $5d$  в зоне проводимости,  $p(1)$ ,  $p(2)$  и  $E_1$ ,  $E_2$  – веса лоренцианов и положение их центров для двух и трехвалентного иона самария,  $E$  – энергия рентгеновского кванта и  $\delta \sim -1.6$  эВ – небольшой сдвиг, характерный для металлических систем [9]. Лоренцианы описывают переход фотоэлектрона на  $5d$ -уровень, а арктангенс хорошо отражает характер возбуждения фотоэлектрона в область непрерывного спектра. Для

моделирования экспериментального уширения суммарная функция сворачивается с гауссовым распределением.

Пунктиром на рис.1 показан спектр края поглощения самария в  $\text{Sm}_{0.77}\text{Y}_{0.33}\text{S}$  при  $T = 300$  К. Значительное изменение соотношения амплитуд максимумов указывает на существенную температурную зависимость валентности самария. Результаты анализа XANES-спектров представлены на рис.2, из ко-

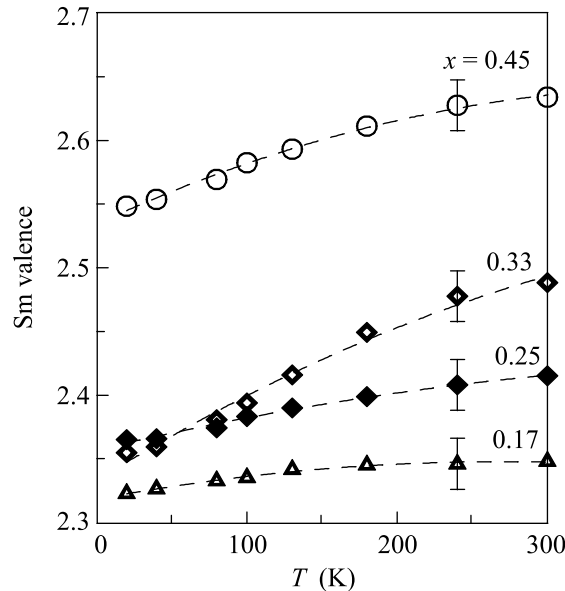


Рис.2. Зависимость валентности самария от температуры для образцов с различным содержанием иттрия

торого видно, что при  $T = 300$  К наблюдается монотонный рост валентности самария с ростом содержания иттрия. Увеличение температуры от 20 до 300 К также ведет к росту валентности, наиболее сильное ее изменение от  $v = 2.36$  до  $v = 2.49$  наблюдается для  $\text{Sm}_{0.77}\text{Y}_{0.33}\text{S}$ . Для других составов изменение валентности менее выражено и составляет величину  $\delta v = 0.09$  при  $x = 0.45$ , 0.06 при  $x = 0.25$  и 0.04 при  $x = 0.17$ .

Выполненный на тех же образцах анализ EXAFS-спектров показал монотонное уменьшение длины связи Sm-S как с температурой, так и с ростом содержания иттрия (см. рис.3). Аналогичное уменьшение межатомных расстояний наблюдается также для связей Sm-Sm и Sm-Y, не показанных на рисунке. Это соотносится с наблюдением отрицательного коэффициента теплового расширения [3] вследствие уменьшения ионного радиуса самария в соответствии с отмеченным выше ростом его валентности. При этом, как видно из рисунка, длина связи Y-S значительно меньше длины связей Sm-S в каждом из исследо-

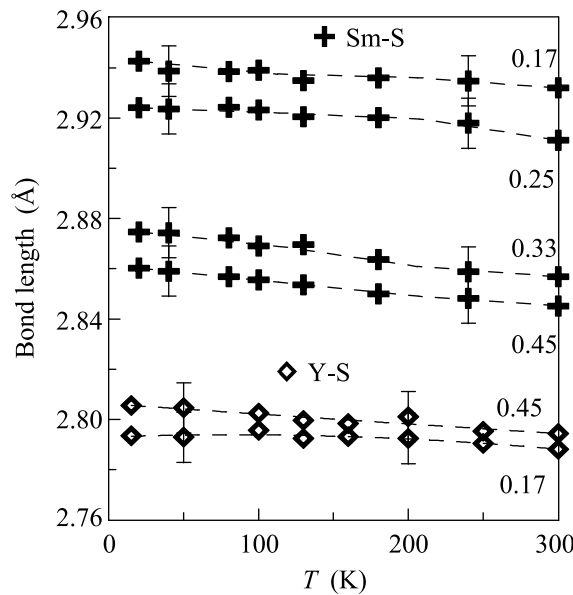


Рис.3. Зависимость длин связей Sm-S и Y-S от температуры для образцов с различным содержанием иттрия

ванных составов и почти не зависит от содержания иттрия. Приведенные данные указывают на существенную локальную деформацию решетки SmS при допировании иттрием, вызывающую локальное понижение симметрии: действительно, ионы серы, находящиеся между ионами самария и иттрия, смещены от среднего положения к ионам  $\text{Y}^{3+}$  на  $0.3 \div 0.8$  Å в зависимости от  $x$ .

Кроме того, обращает на себя внимание тот факт, что при  $T = 20$  К значение валентности самария для состава  $x = 0.33$  меньше, чем для  $x = 0.25$  (рис.2), несмотря на то, что длина связи Sm-S в образце с  $x = 0.25$  значительно больше (рис.3). Это указывает на нарушение в  $\text{Sm}_{1-x}\text{Y}_x\text{S}$  закона Вегарда для соединений редкоземельных элементов, который предполагает линейную связь валентности с параметром решетки (межатомным расстоянием) [12]. Поскольку валентность самария определяется степенью делокализации  $f$ -электронов при совпадении  $4f$ -уровня с уровнем Ферми, мы полагаем, что указанное отклонение от закона Вегарда обусловлено появлением дополнительной концентрации  $5d$ -электронов от  $\text{Y}^{3+}$ , сдвигающей уровень Ферми в  $\text{Sm}_{1-x}\text{Y}_x\text{S}$  в сторону больших энергий. Таким образом, эффект допирования не может быть сведен лишь к химическому давлению, поскольку вызывает изменения как локальной кристаллической, так и локальной электронной структур SmS.

Локальное нарушение симметрии решетки SmS при допировании иттрием может являться причи-

ной появления уширения линий в спектре магнитных возбуждений [4], но, будучи непосредственно связанным с промежуточновалентным состоянием самария, вряд ли может быть интерпретировано лишь в качестве систематического изменения эффектов кристаллического электрического поля, как предложено в работе [6].

Анализ EXAFS-спектров позволил также определить температурные зависимости факторов Дебая-Валлера связи Sm-S. В рентгеновской спектроскопии поглощения фактор Дебая-Валлера, равный среднеквадратичному отклонению межатомного расстояния от среднего значения,

$$\sigma^2 = \sigma_s^2 + \sigma_d^2, \quad (3)$$

определяется не зависящим от температуры вкладом  $\sigma_s^2$ , характеризующим статическое разупорядочение атомов, и динамическим вкладом  $\sigma_d^2$ , характеризующим изменение межатомного расстояния вследствие тепловых колебаний. Температурную зависимость динамического вклада можно рассчитать в рамках модели Эйнштейна [13]:

$$\sigma_d^2 = \frac{\hbar}{2\omega\mu} \coth \frac{\Theta_E}{2T}, \quad (4)$$

где  $\omega$  – частота продольных колебаний связи,  $\mu$  – приведенная масса пары атомов, а  $\Theta_E = \hbar\omega/k_B$  – температура Эйнштейна.

Экспериментальные результаты вместе с модельными кривыми представлены на рис.4. Видно, что жесткость связи Sm-S, характеризуемая температурой Эйнштейна, монотонно возрастает с ростом содержания иттрия, что согласуется с отмеченным выше уменьшением ее длины. Одновременно установлено, что состав с  $x = 0.33$  имеет минимальные локальные статические искажения кристаллической решетки, характеризуемые минимальным значением статического фактора Дебая-Валлера связи Sm-S (см. вставку к рис.4). Последнее обстоятельство указывает на наибольшую степень упорядоченности решетки  $\text{Sm}_{1-x}\text{Y}_x\text{S}$  при концентрации иттрия  $x = 0.33$ . Действительно, для решетки типа NaCl число ближайших соседей в подрешетке самария равно 12 и при  $x = 0.33$  достигается практически одинаковое локальное окружение каждого из ионов самария, состоящее из восьми ионов самария и четырех ионов иттрия. Естественно, что моделирование искажений решетки при допировании показывает, что этому составу соответствует минимальная степень локальной деформации.

Корреляция особенностей локальной кристаллической и локальной электронной структур ПВ состоя-

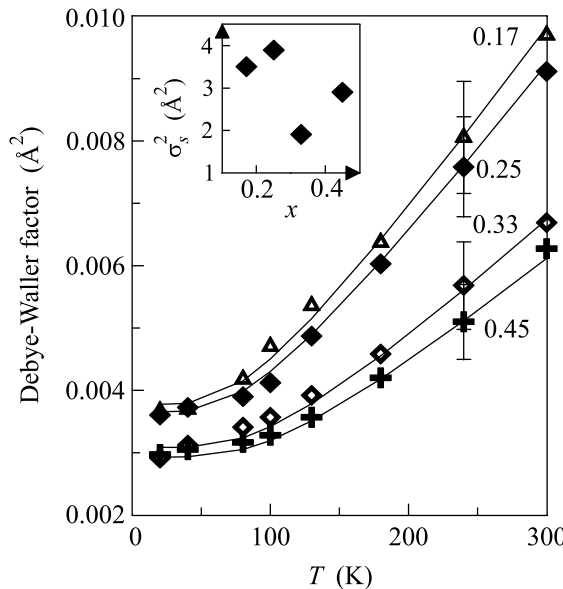


Рис.4. Температурная зависимость динамического вклада  $\sigma_d^2$  фактора Дебая-Валлера связи Sm-S. Модельные кривые соответствуют температурам Эйнштейна  $\Theta_E = 243$  К ( $x = 0.17$ ), 251 К ( $x = 0.25$ ), 297 К ( $x = 0.33$ ), 313 К ( $x = 0.45$ ). На вставке показана зависимость статического вклада  $\sigma_s^2$  от содержания иттрия

ния в  $\text{Sm}_{1-x}\text{Y}_x\text{S}$  проявляется в виде абсолютно идентичных зависимостей изменений валентного состояния самария  $\delta v = v(300\text{ K}) - v(20\text{ K})$  и изменений длины связи Sm-S  $\delta l = l(20\text{ K}) - l(300\text{ K})$  в температурном интервале 20–300 К, показанных на рис.5. При этом важно отметить, что указанные изменения максимальны для образца с  $x = 0.33$ , имеющего наиболее упорядоченную на локальном уровне решетку.

Полученные результаты позволяют предложить модель взаимосвязи валентного состояния самария с локальными особенностями решетки  $\text{Sm}_{1-x}\text{Y}_x\text{S}$  для определения основных характеристик ПВ состояния. Поскольку валентность самария определяется степенью перекрытия 4f-состояний со свободными состояниями вблизи уровня Ферми, то она должна зависеть как от глубины залегания 4f-уровня, так и от его ширины. Для наиболее упорядоченной решетки  $x = 0.33$ , где валентность каждого из ионов Sm практически одинакова вследствие одинакового локального окружения, полуширина 4f-уровня  $\Gamma_f$  минимальна и совпадает с полушириной 4f-уровня отдельно взятого иона. В этом случае уширение 4f-уровня однородно и описывается функцией Лоренца. При отклонении от этой концентрации каждый из ионов самария имеет несколько отличное локальное окруже-

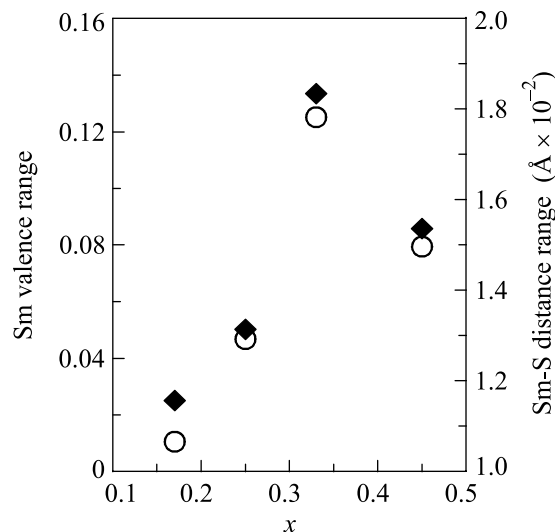


Рис.5. Зависимости изменения валентности самария  $\delta v = v(300 \text{ K}) - v(20 \text{ K})$  (черные квадраты) и длины связи Sm-S  $\delta l = l(20 \text{ K}) - l(300 \text{ K})$  (кружки) в температурном интервале 20–300 К от содержания иттрия

ние. Это приводит к интегральному неоднородному уширению 4f-уровня, которое описывается функцией Гаусса. В результате одинаковое “размытие”  $k_B T$  уровня Ферми  $E_F$  при повышении температуры от 20 до 300 К вызывает разное изменение степени его перекрытия с 4f-уровнем в зависимости от глубины залегания  $\Delta E = E_F - E_0$  и полуширины  $\Gamma_f$  4f-уровня. Для минимальной полуширины 4f-уровня ( $x = 0.33$ ) изменение степени перекрытия максимально, что и обуславливает максимальное изменение валентности самария с температурой для состава с  $x = 0.33$  (см. рис.5). Минимальные изменения валентности соответствуют составам с  $x = 0.17, 0.25$ , для которых локальные искажения решетки максимальны.

На основании предложенной модели и экспериментально полученных температурных зависимостей валентности самария мы оценили такие важные характеристики ПВ состояния, как глубина залегания  $\Delta E$  и полуширина  $\Gamma_f$  4f-уровня, сведенные в таблицу. Полученные значения ширины 4f-уровня

**Глубина залегания  $\Delta E = E_F - E_0$  и полуширина  $\Gamma_f$  4f-уровня Sm в  $\text{Sm}_{1-x}\text{Y}_x\text{S}$  для образцов с различным содержанием иттрия при  $T = 20 \text{ K}$**

	$x = 0.17$	$x = 0.25$	$x = 0.33$	$x = 0.45$
$\Gamma_f, \text{эВ}$	0.37	0.22	0.09	0.13
$\Delta E, \text{эВ}$	0.12	0.05	0.02	-0.01

по порядку величины соответствуют оценке ширины гибридизированной f-зоны  $10^{-2} \leq \Gamma_f \leq 10^{-1} \text{ эВ}$ ,

приведенной Вармой в обзоре [10], а также более поздним теоретическим оценкам (см., например, [14]).

В результате проведенных исследований показано, что влияние допирования на ПВ состояние в  $\text{Sm}_{1-x}\text{Y}_x\text{S}$  не может быть сведено лишь к созданию химического давления. Изменение параметров локального окружения иона самария приводит к заметной перестройке его электронной структуры. Замещение ионов самария иттрием, с одной стороны, вызывает локальное нарушение симметрии решетки SmS, а с другой, изменяет валентность самария, переводя его в ПВ состояние, которое вносит дополнительный вклад в локальную деформацию решетки. Электронное допирование, вызванное замещением двухвалентных ионов самария на трехвалентные ионы иттрия, сдвигает уровень Ферми в сторону больших энергий, приводя к нарушению закона Бегарда. Температурная зависимость валентности самария является причиной аномального уменьшения длин межатомных связей с ростом температуры, вызывая в интеграле отрицательный коэффициент теплового расширения. Комбинация XANES и EXAFS методов рентгеновской спектроскопии поглощения, обеспечивающая одновременный анализ температурных изменений валентности и локальных структурных искажений, позволяет оценить такие важные параметры ПВ состояния, как энергетическая ширина 4f-уровня и его положение относительно уровня Ферми.

Авторы благодарны В.Н. Лазукову, Е.В. Нефедовой и А.В. Кузнецова за полезные обсуждения, А. Очиай и А.В. Голубкову за приготовление образцов.

Работа выполнена при поддержке Российского фонда фундаментальных исследований (гранты # 05-02-16996 и # 05-02-16426).

- Д. И. Хомский, УФН **129**, 443 (1979).
- Л. Д. Финкельштейн, Н. Н. Ефремова, Н. И. Лобачевская и др., ФТТ **18**, 3117 (1976).
- K. Iwasa, T. Tokuyama, M. Kohgi et al., Physica B **359&361**, 148 (2005).
- P. A. Alekseev, J.-M. Mignot, A. Ochiai et al., Phys. Rev. B **65**, 153201 (2002).
- K. A. Kikoin and A. S. Mishchenko, J. Phys.: Cond. Matter **7**, 307 (1995).
- R. S. Fishman and S. H. Liu, Phys. Rev. Lett. **89**, 247203 (2002).
- K. V. Klementev, J. Phys. D: Appl. Phys. **34**, 209 (2001).
- A. L. Ankudinov, B. Ravel, J. J. Rehr, and S. D. Conradson, Phys. Rev. B **58**, 7565 (1998).

9. J. Röhler, J. Magn. Magn. Mater. **47&48**, 175 (1985).
10. C. M. Varma, Rev. Mod. Phys. **48**, 219 (1976).
11. P. P. Deen, D. Braithwaite, N. Kernavanois et al., Phys. Rev. B **71**, 245118 (2005).
12. A. Jayraman, P. D. Dernier, and L. D. Longinotti, Phys. Rev. B **11**, 2783 (1975).
13. E. Sevillano, H. Meuth, and J. J. Rehr, Phys. Rev. B **20**, 4908 (1979).
14. V. N. Antonov, B. N. Harmon, and A. N. Yaresko, Phys. Rev. B **66**, 165208 (2002).